

正員 東京大学教授 鳥 祐之  
○学生員 東大大学院 藤原国宏

### (1) はじめに

開水路に設置されるゲートには一般的な型式のものより特殊な型式のものまで種々あるが、ここで考えているのはゲート下よりの流出とゲート上よりの越流を伴うものである。この種のゲートについては、Edward Naudacher 氏の実験<sup>①</sup>及公報田川の洗浄<sup>②</sup>についての報告がある。いずれの場合にもかなり激しい振動が発生する事が報告されている。そこで筆者等はこの種のゲートについて基本的な問題より解明する事を考えて一連の実験を行なっている。本年度の報告は長方形断面を有するゲートについて、ゲートヒンジの支持装置の形成する振動系と発生振動との関連に注目してまとめてみる。

### (2) 実験結果

実験装置は図-1に示した状況のものであって、振動変位は板バネにスレインゲージを接着して、その変位より求めた。図-2に示した結果は、板バネ1 ( $\lambda_1 = 34.50 \text{ cm}$ ) について、上流側水深  $H_0 = 14.0 \text{ cm}$ 、下流側セキ上げ水深  $R_3 = 0, 2.5 \text{ cm}, 5.0 \text{ cm}$  の各場合の複振幅  $2A$  と卓越周波数  $\omega_{\text{v}}$  を  $R_3/H$  との関係で示したものである。この図より判明する事は次の諸点である。

(1)  $R_3$  が零す前 ( $R_3 \rightarrow 0$ ) において非常に大きな振動が起り、その卓越周波数は振動系の固有振動と同じである。等しいセキ上げの場合が大きい。

(2) 下流側をセキ上げると振動の振幅は小さくなり、卓越周波数においても固有振動よりかけはなれを値をとる領域が出てくる。特に下流側のセキ上げが大きい場合に顕著のようである。

(3) 上流側水深  $H$  を変えてやると(流量を変えて)振動は流量の増加に伴つて大きくなる傾向を示す。これは振動系に供給される振動エネルギーが大きくなる事を考えれば当然であろう。

(4) (1)でのべた振動と(2)でのべた振動は全く異った振動であり、(1)は振動外力を系が共振しているタイプの振動である。

(2)は振動外力による強制振動である。(1)の方は振動系に左右され、(2)はゲートの形状、大きさと流れの状況(流速等)によって決まると考えられる。

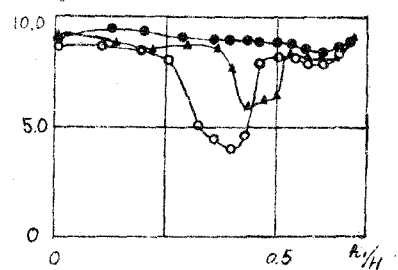
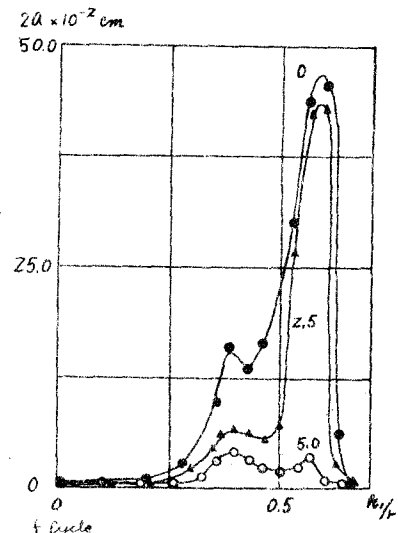
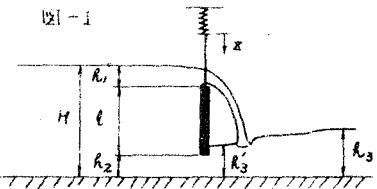


図-2

### (3) 実験結果に対する解析

実験によって判明した最も大きい振動(前記1))について gate の振動系との関連より解析を行ってみた。座標を図-1 の様に決めると振動方程式は次の様になる。

$$(M+M') \frac{d^2 z}{dt^2} + R \frac{dz}{dt} + \rho_0 z = P'(z, t) \quad (1)$$

但し  $P'(z, t)$  は振動外力,  $M, M'$  は gate 質量及び附加質量,  $R$  は粘性減衰力,  $\rho_0$  は水の密度, さらに振動外力  $P'$  は gate 上面及び下面に働く圧力の変動分であると考え, gate 下面に働く圧力変動は越流水の自由運動によって生ずる脈動が支配するものと考える, そしてその作用は gate の動きより越流水の落下時間と圧力の伝達時間だけ遅れてくると考えると  $P'$  は次の様になる。

$$P'(z, t) = Bd_o \left[ \frac{dP_m}{dz} z(t) - \frac{dP_m}{dz} z(t-t_0) \right], \quad t_0 = \sqrt{\frac{2H}{g}} \sqrt{k \frac{l}{H} + C_0 \frac{l^2}{H}} + t, \quad (2)$$

$Bd_o$  は壁面剛性,  $l$  は gate の高さ,  $t_0$  は圧力の伝達時間, (2)を(1)に入れて  $2t = \frac{R}{M+M'}$ ,  $m^2 = \frac{\rho_0}{M+M'}$ ,  $M^2 = Bd_o \frac{dP_m}{dz} \frac{1}{M+M'}$ ,  $w_m^2 = m^2 - M^2$ ,  $\lambda = Bd_o \frac{dP_m}{dz} \frac{1}{M+M'}$  として書きなおすと。

$$\frac{d^2 z(t)}{dt^2} + 2\gamma \frac{dz(t)}{dt} + w_m^2 z(t) + \lambda z(t-t_0) = 0 \quad (3)$$

次にこの振動方程式の特性を調べるために、特性方程式の根を  $S = i\omega + d$  において  $\omega > 0$  による不安定、安定領域を求める。その結果は図-3 となる。但し  $T_0 = w_m t_0$ ,  $\Lambda = \lambda / 2 \pi w_m$  で図中黒い部分が  $\omega > 0$  の不安定領域である。図から判るごとく  $\Lambda > 0$  の場合には  $w_m t_0 = \frac{\pi}{2}, \frac{3\pi}{2}, \dots, \Lambda \approx 1.0$  において不安定となるやすい。(たがって振動系より決まる不安全な遅れ時間は

$$t_0 = (\frac{\pi}{2}, \frac{3\pi}{2}, \dots) / w_m \quad (4) \text{ である。}$$

実験の結果と比較するにつけて  $t_0$  入は確実には決定できないので、あるいは  $t_0$  について考えた方が良い。まず図-2 に相当する時の  $\omega \sim \frac{d}{H}$  の関係は(2)より決る図-4 の実線となる。次に図-2 の周波数の関係より系の固有振動数  $\omega_m$  を決め  $w_m = 4 \pi f$  を(4)式に入れて  $t_0$  を求めると図-4 中の黒丸となる。

この黒丸群と(2)式の求めよう決まる遅れ時間の曲線との交差附近が不安全な領域になるはずである。図-2 の振中の最大になるとこれが一致してくる事は両圖をみると明らかである。したがって(2)でのべた(1)のタイプの振動は瞬時遅れ(むだ時間系)の振動として説明できる。ならぬ当然の事として下側の gate lip が下流側の圧力変動を受けにくいためのものではこの様な現象は起りにくいくと考えられる。なお(1)のタイプの振動についても統計的解析を行う予定である。

① Proc. A.S.C.E. (HY4) July 1965

② 土木学会誌 47巻4号 昭和37年4月

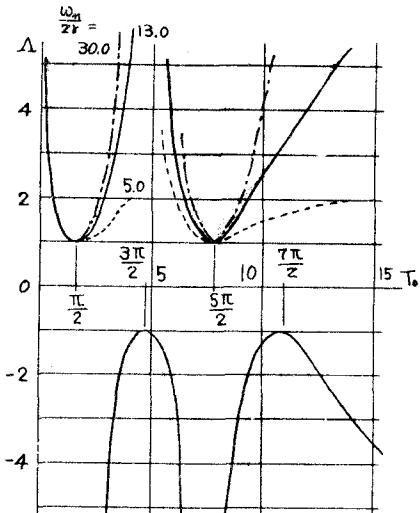


図-3

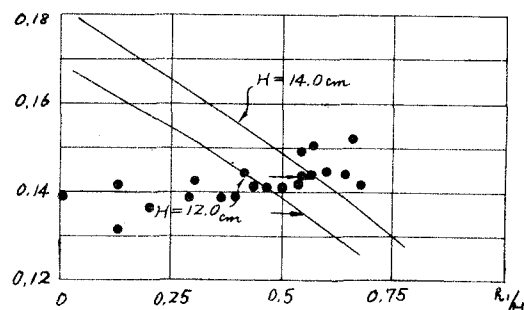


図-4